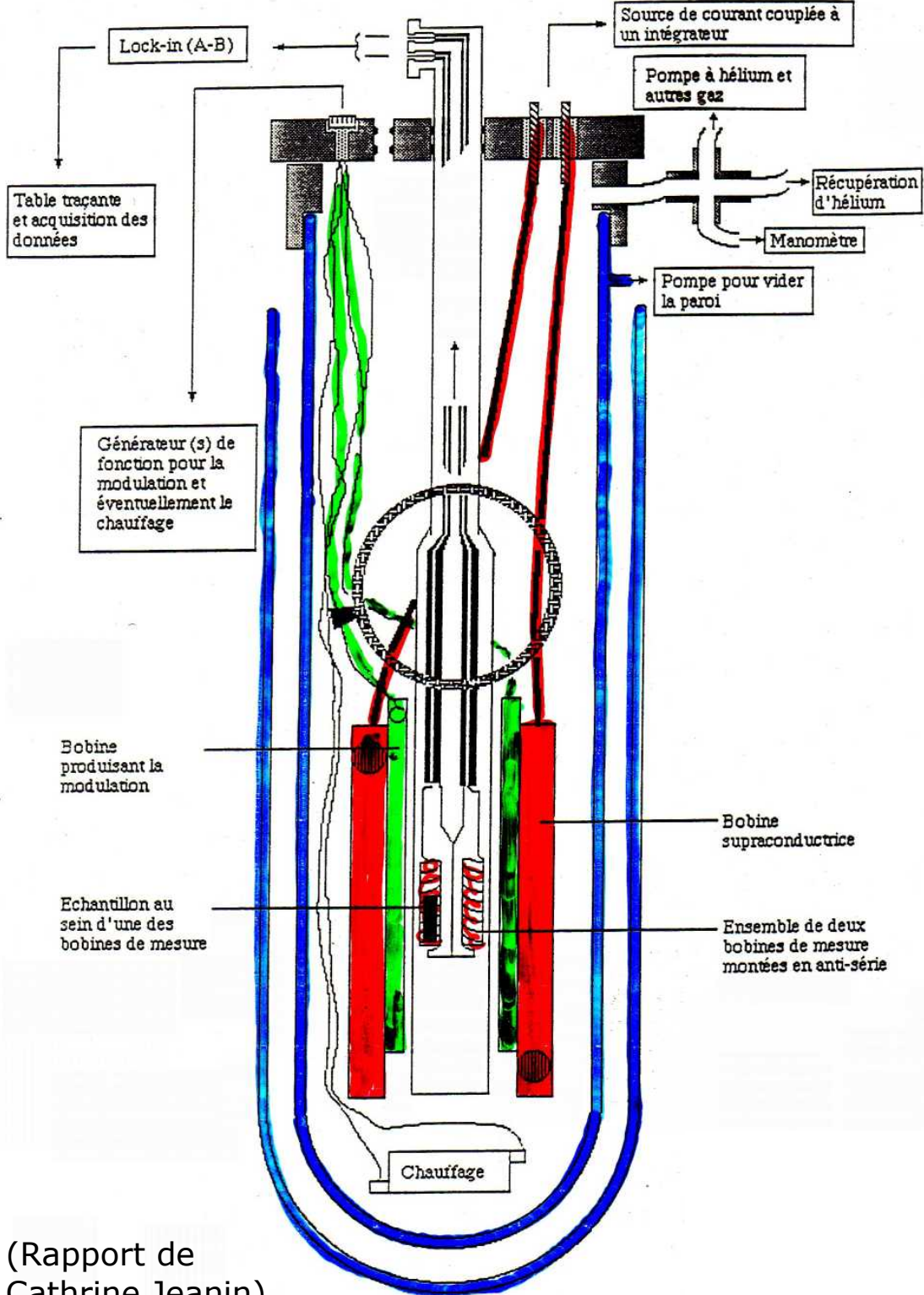


TRAVAUX PRATIQUES

Annexe 5 : Schéma du montage



(Rapport de
Cathrine Jeanin)

$$\begin{aligned}
 U_{\sim} &= c \frac{dM}{dt} \\
 &= c \frac{dM}{dB} \frac{dB}{dt} \\
 &= c \chi \frac{dB}{dt}
 \end{aligned}$$

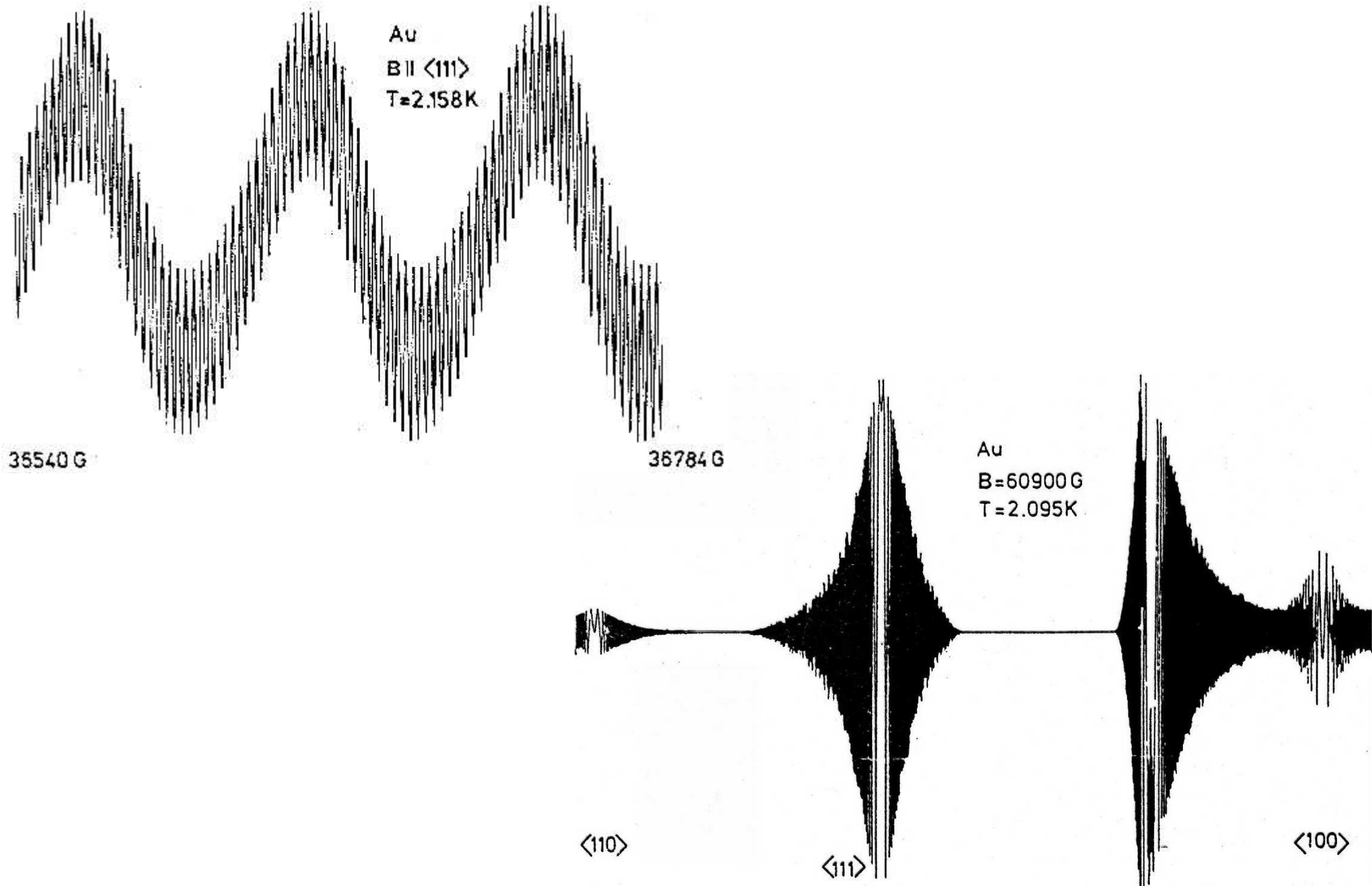


Fig. VIII.4 a, b. Original recordings of the oscillations found in the magnetic susceptibility of gold. a As a function of magnetic field strength. b Upon varying the direction of the magnetic

field (after [VIII.3]). Such quantum oscillations can only be observed of course for a sufficiently sharp Fermi distribution ($kT < \hbar\omega_c$)

1930 Landau: Quantisierung der Elektronenbahnen im B -Feld

1930 de Haas & van Alphen: Beobachtung des dHvA Effekts

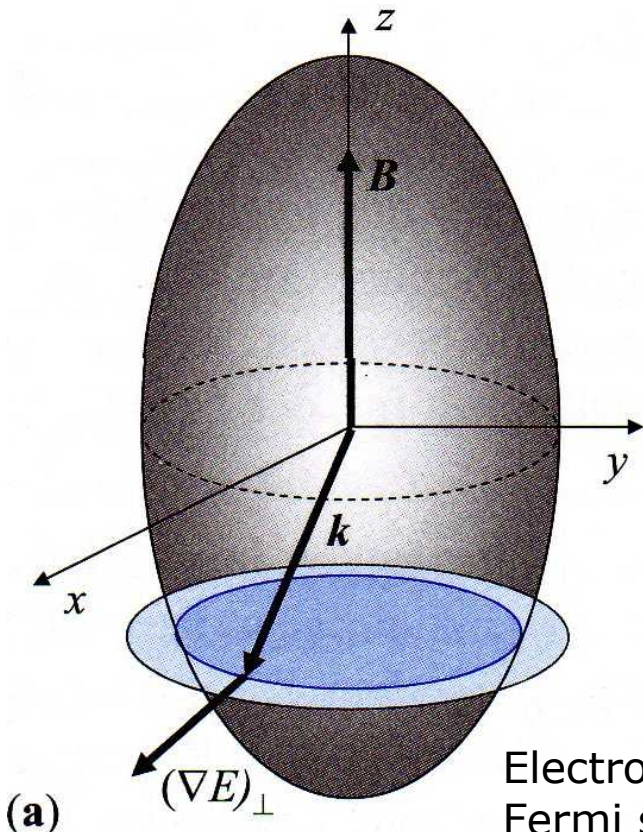
1952 Onsager: Beziehung zwischen Periode und Fermifläche

Electron motion in a magnetic field

Lorentz force $m\mathbf{v} = \hbar\mathbf{k}$ $m\frac{d\mathbf{v}}{dt} = e(\mathbf{v} \times \mathbf{B})$ $\mathbf{v} = \hbar^{-1}\nabla_{\mathbf{k}}E(\mathbf{k})$

eq. of motion

$$\frac{d\mathbf{k}}{dt} = \frac{e}{\hbar^2}(\nabla_{\mathbf{k}}E(\mathbf{k}) \times \mathbf{B}) = \frac{e}{\hbar^2}B(\nabla_{\mathbf{k}}E(\mathbf{k}))_{\perp}$$



Electron orbit on
Fermi surface (ellipsoid)

$$dt = \frac{\hbar^2}{e} \frac{1}{B} \frac{d\mathbf{k}}{(\nabla_{\mathbf{k}}E(\mathbf{k}))_{\perp}}$$

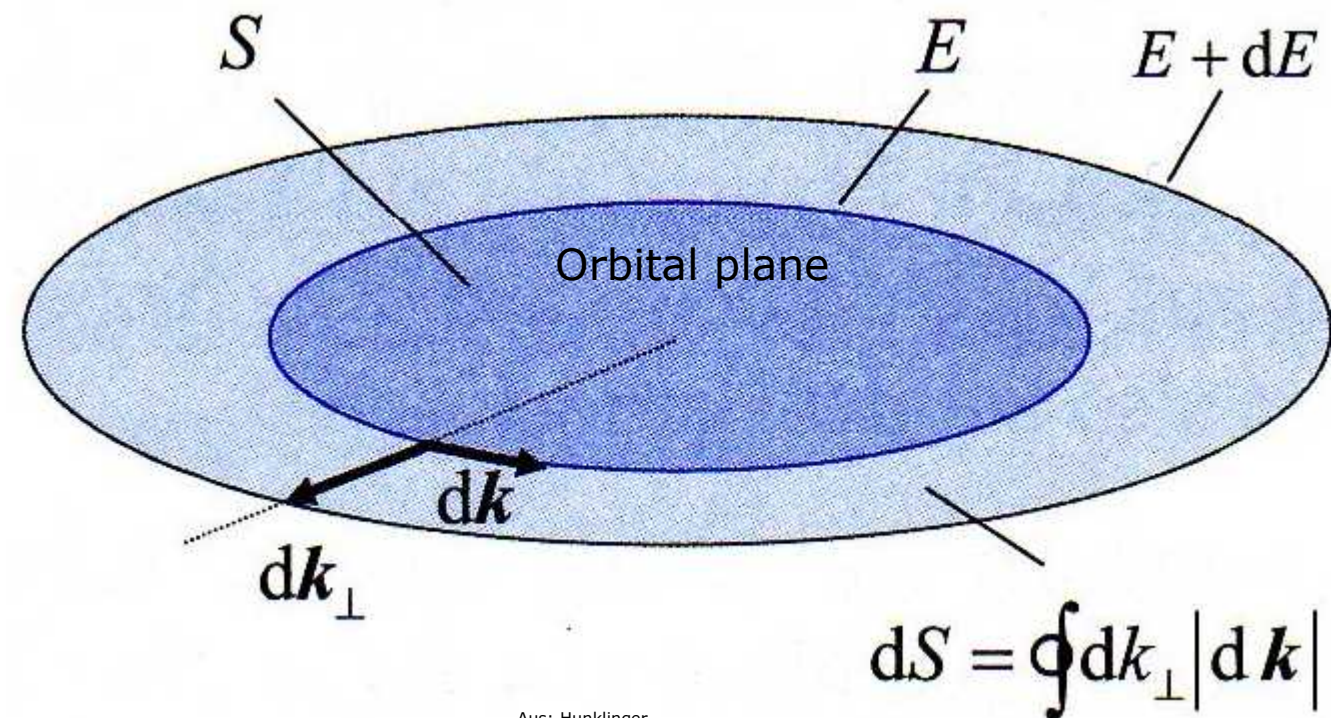
component $\perp B$

$$\tau = \int dt = \frac{\hbar^2}{e} \frac{1}{B} \oint_{\text{perimeter}} d\mathbf{k} \frac{1}{(\nabla_{\mathbf{k}}E(\mathbf{k}))_{\perp}}$$

$$(\nabla_{\mathbf{k}} E(\mathbf{k}))_{\perp} = \frac{dE}{dk_{\perp}}$$

k_{\perp} perpendicular to B & ($E=\text{const.}$)

$$\tau = \frac{\hbar^2}{e} \frac{1}{B} \oint d\mathbf{k} \frac{dk_{\perp}}{dE} = \frac{\hbar^2}{eB} \frac{dS}{dE}$$



$$\tau = \frac{\hbar^2}{eB} \frac{dS}{dE}$$

dependence of enclosed k -area on E determines τ

$\Rightarrow \tau$ provides information on Fermi surface

in particular, for nearly free electrons:

$$S = \pi k^2 = \pi 2m^* E / \hbar^2$$

$$\frac{dS}{dE} = \frac{2\pi}{\hbar^2} m^*$$

$$\omega_c = \frac{2\pi}{\tau} = \frac{eB}{m^*}$$

at $B = 1$ T: $\tau = 3.6 \cdot 10^{-11}$ s

cyclotron frequency

measure effective mass in semiconductors

$\omega_c T < 1$: mehrfache Streuung pro Umlauf

$\omega_c T > 1$: periodische Bewegung in hohen **B**-Feldern

Quantisieren!

Resultat: $E = E_0 + \left(l + \frac{1}{2}\right) \hbar \omega_c + \frac{\hbar^2}{2m^*} k_z^2$

Landaurohren

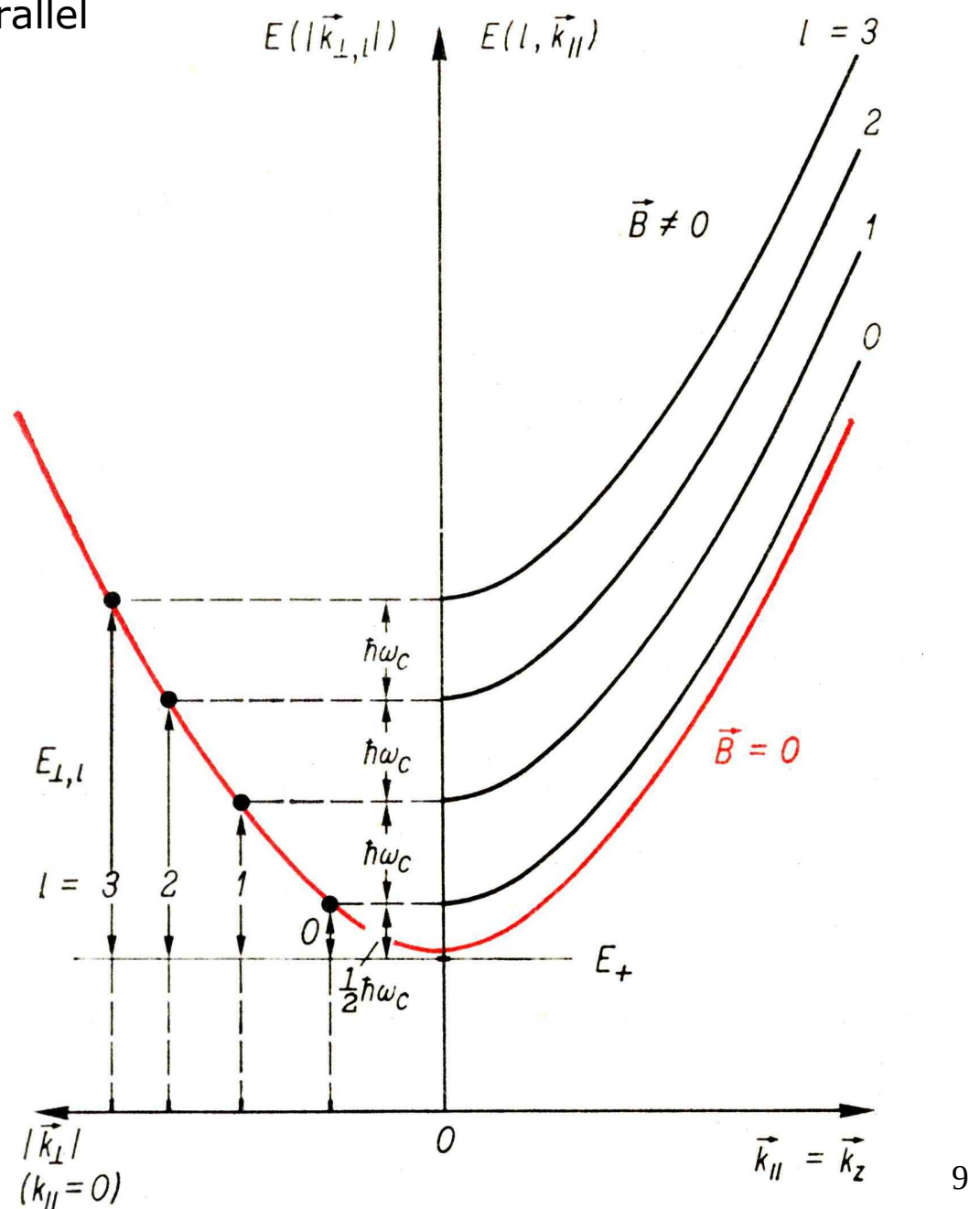
Aufspaltung eines Energiebandes im Magnetfeld;

$E(\mathbf{k})$ für \mathbf{k} -Richtungen senkrecht und parallel

zum Magnetfeld $\mathbf{B} = (0, 0, B_z)$.

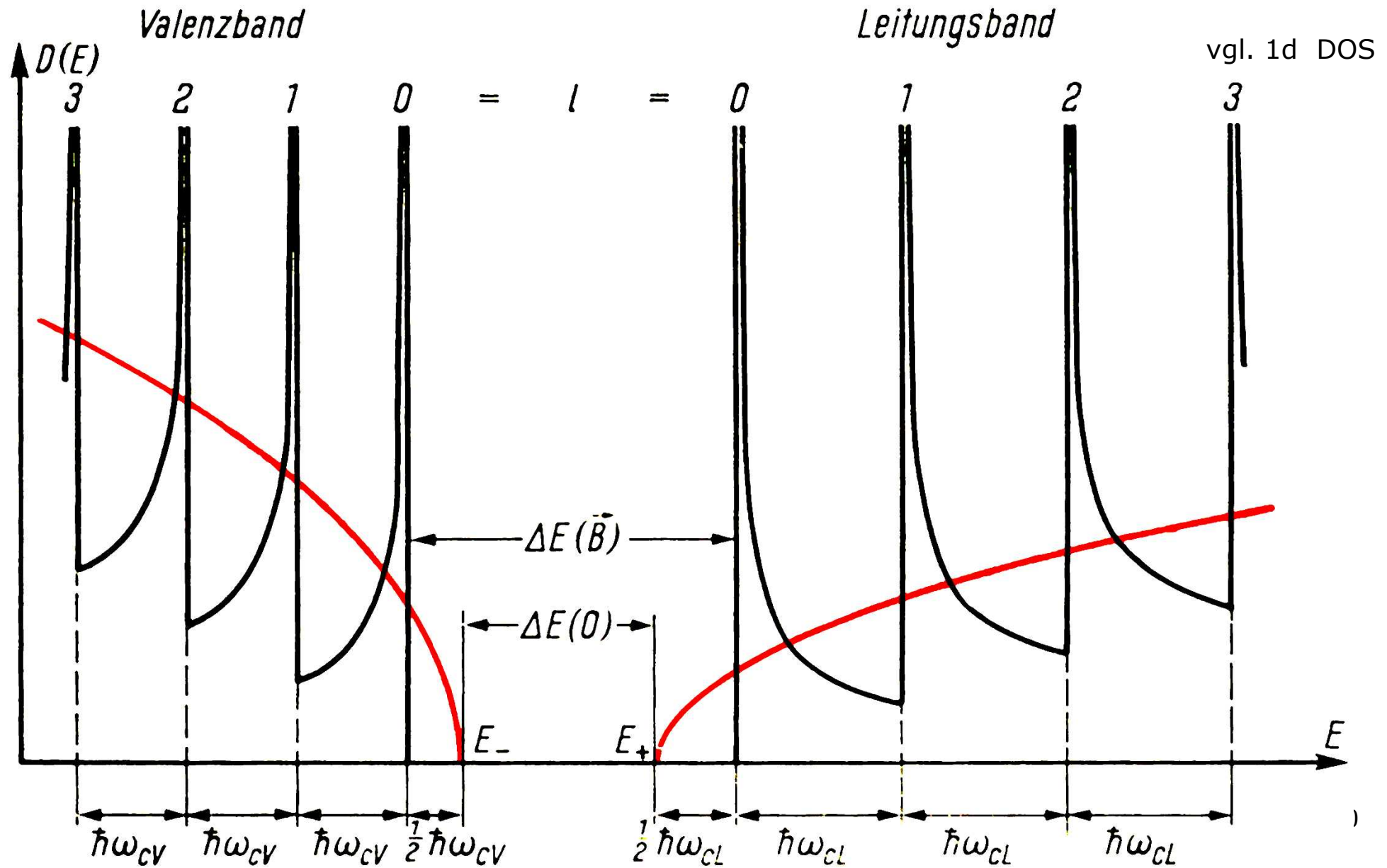
Zum Vergleich: $E(\mathbf{k})$ für $\mathbf{B}=0$ (rot).

$$E = E_0 + \left(l + \frac{1}{2}\right) \hbar \omega_c + \frac{\hbar^2}{2m^*} k_z^2$$

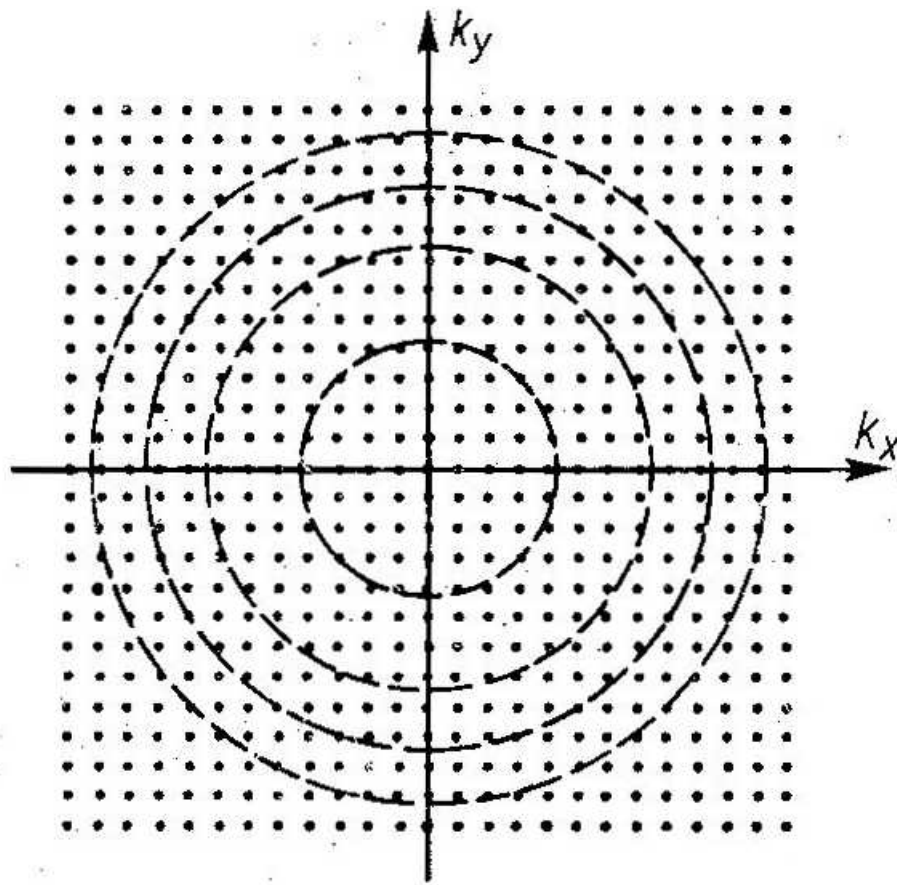


Eigenwertdichte in Valenz- und Leitungsband

für $B=0$ (rot) und $|B|>0$ (schwarz)

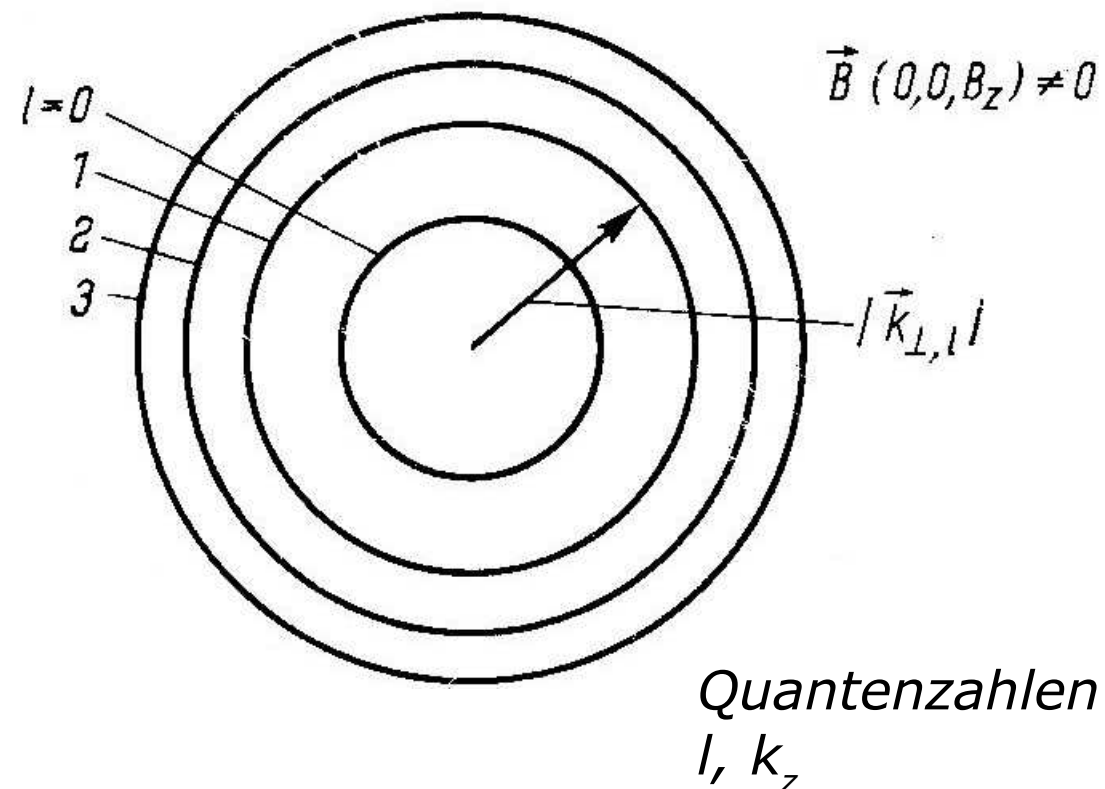


Verteilung der Zustände in der Ebene $k_z = \text{const.}$ ohne und mit Magnetfeld



$$\vec{B} = 0$$

Quantenzahlen
 k_x, k_y, k_z



Quantenzahlen
 l, k_z

$$\omega_c = \frac{e B}{m^*}$$

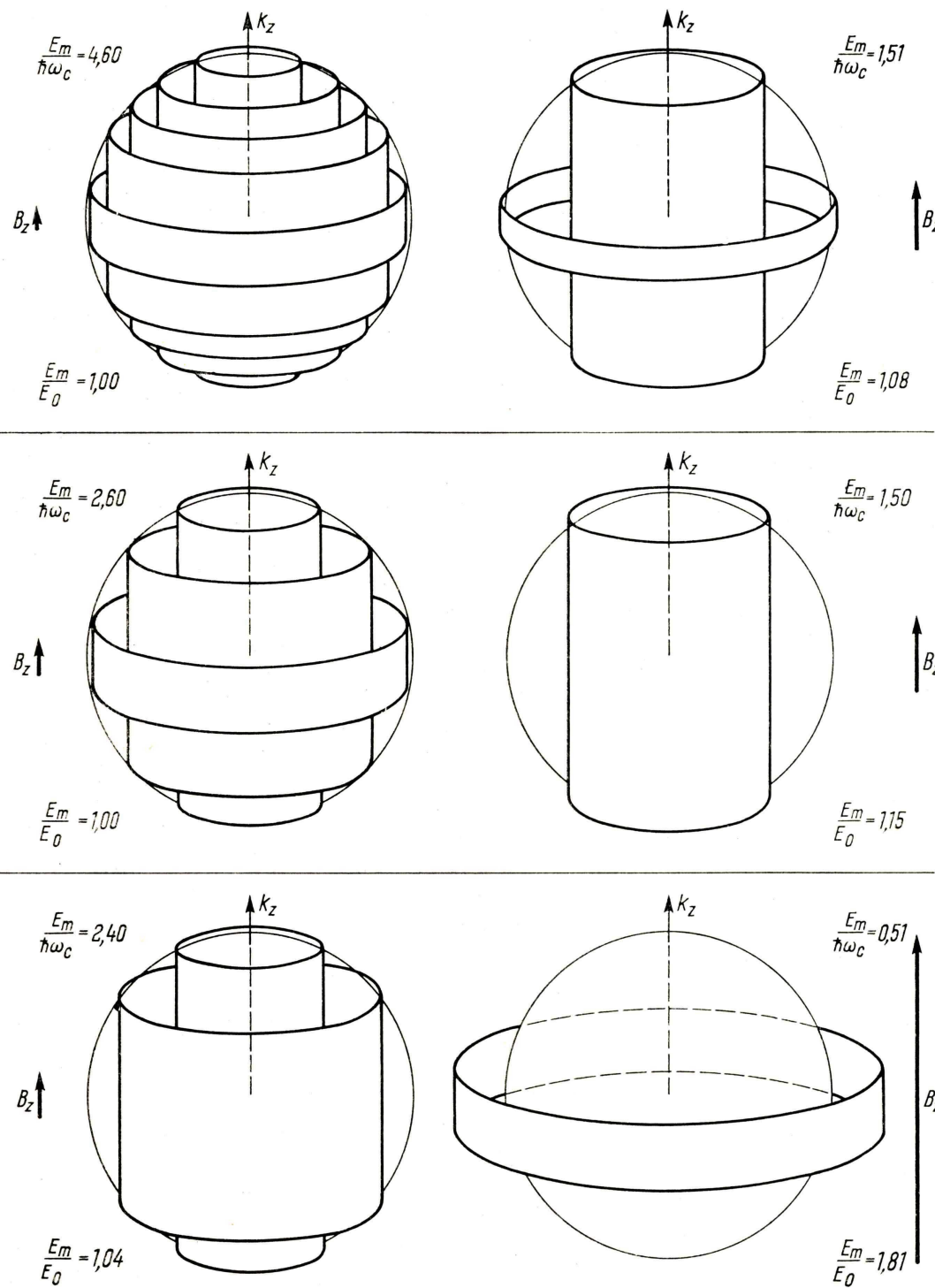
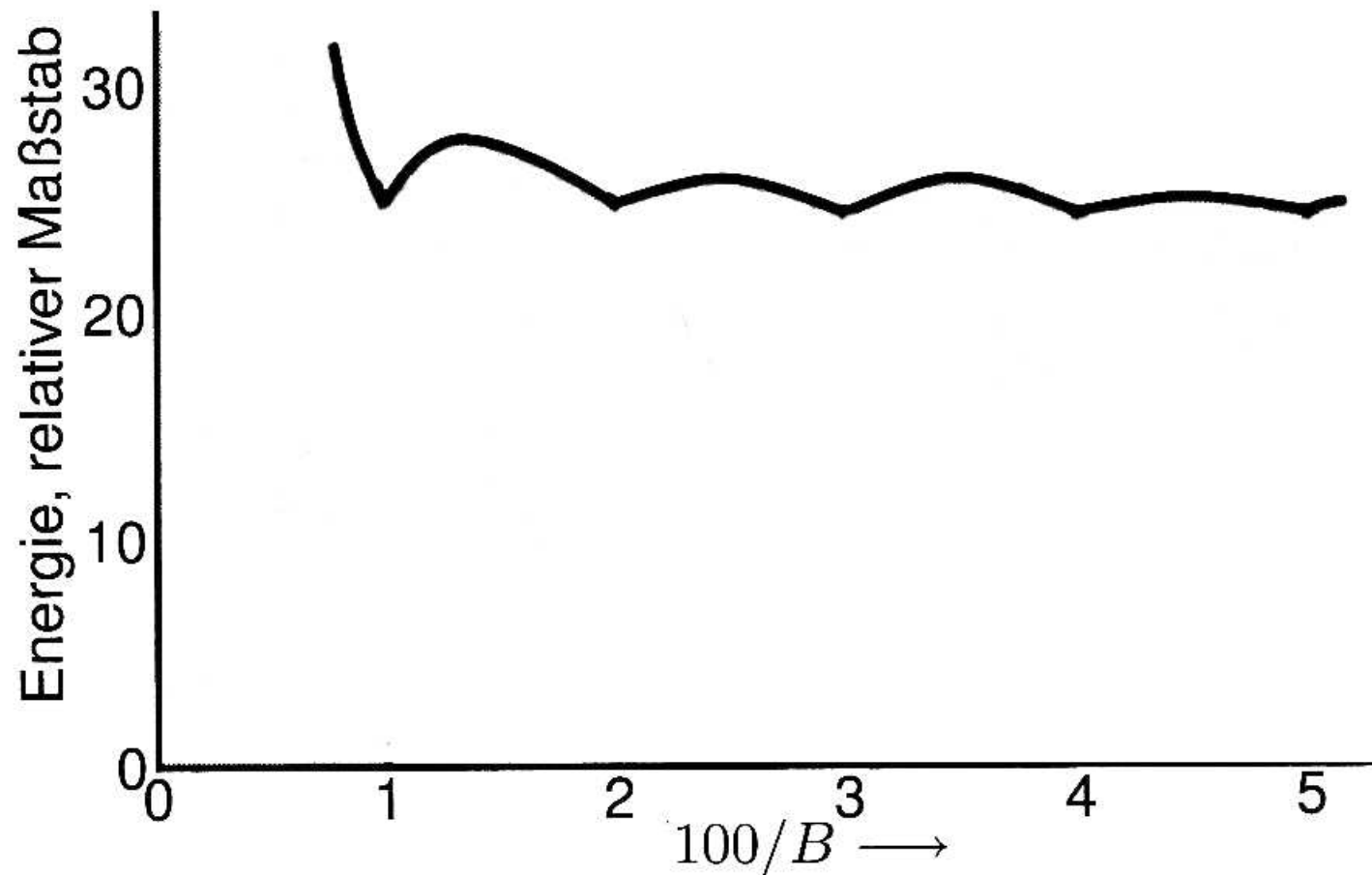


Fig. 129: Zustandsdichte quasifreier Elektronen für verschiedene Magnetfelder; die Zylinder enthalten dieselbe Anzahl $Z(E_m)$ von Zuständen wie die Energiekugel $E = E_0$

n.b.: Entartung
der Landau niveaus
abh. von \mathbf{B}

Oszillationen der Gesamtenergie periodisch in 1/B

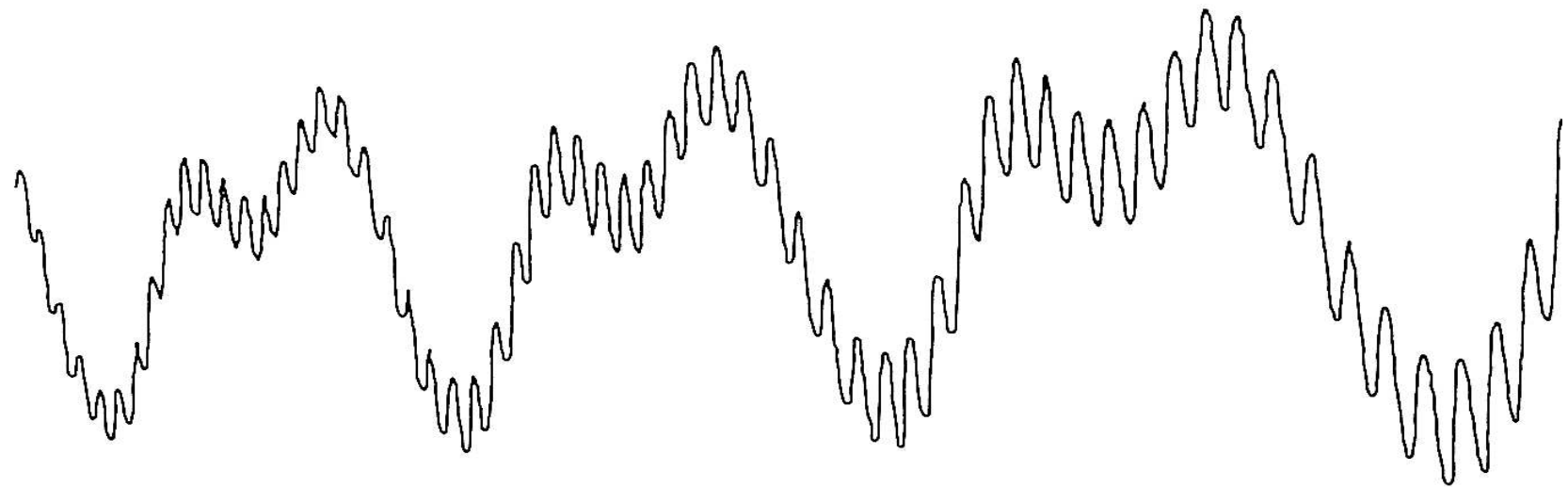


Gesamte Elektronenenergie U , aufgetragen gegen $1/B$

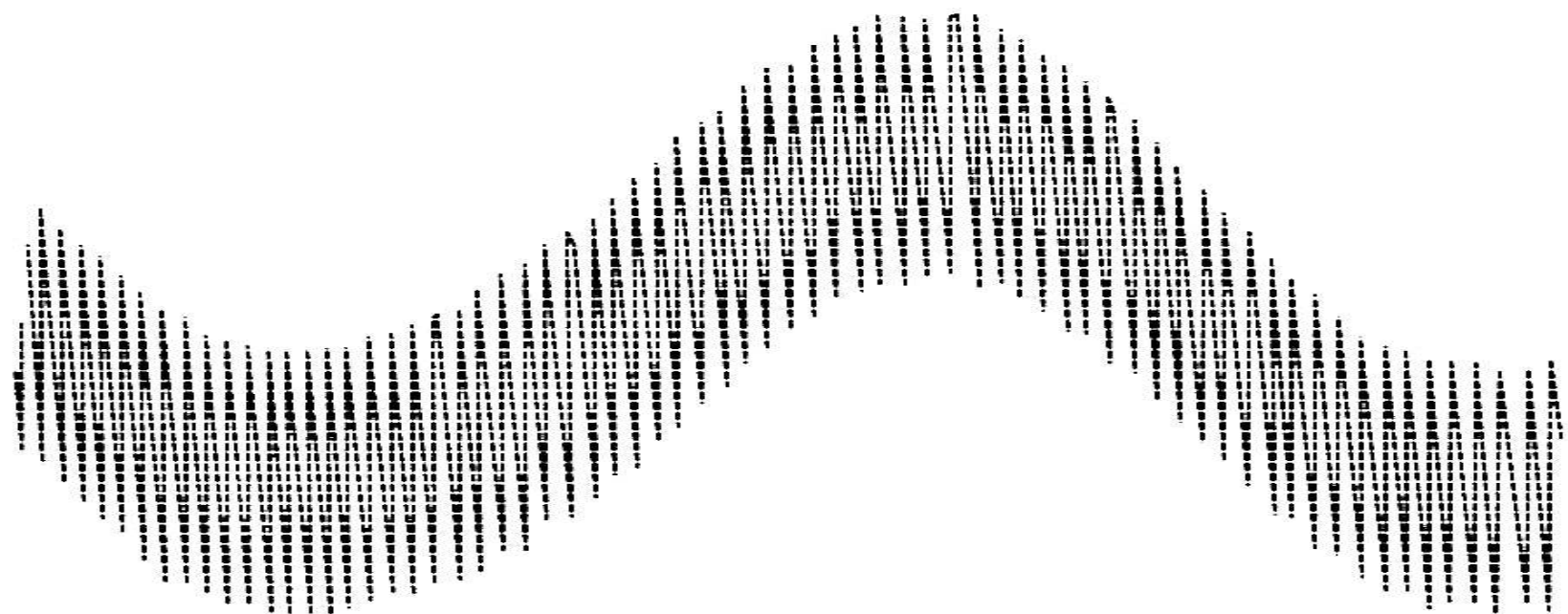
(Nachweis der Oszillationen von U durch Messung des magnetischen Moments.)

de Haas-van Alphén Oszillationen

Rhenium



Silber



Extrembahnen

Bild 9.28: Die Bahnen im Abschnitt AA' sind Extrembahnen: die Zyklotronperiode ist über ein genügend breites Stück der Fermi-Fläche annähernd konstant. Bahnen in Abschnitten wie BB' ändern über diese Breite ihre Periode.

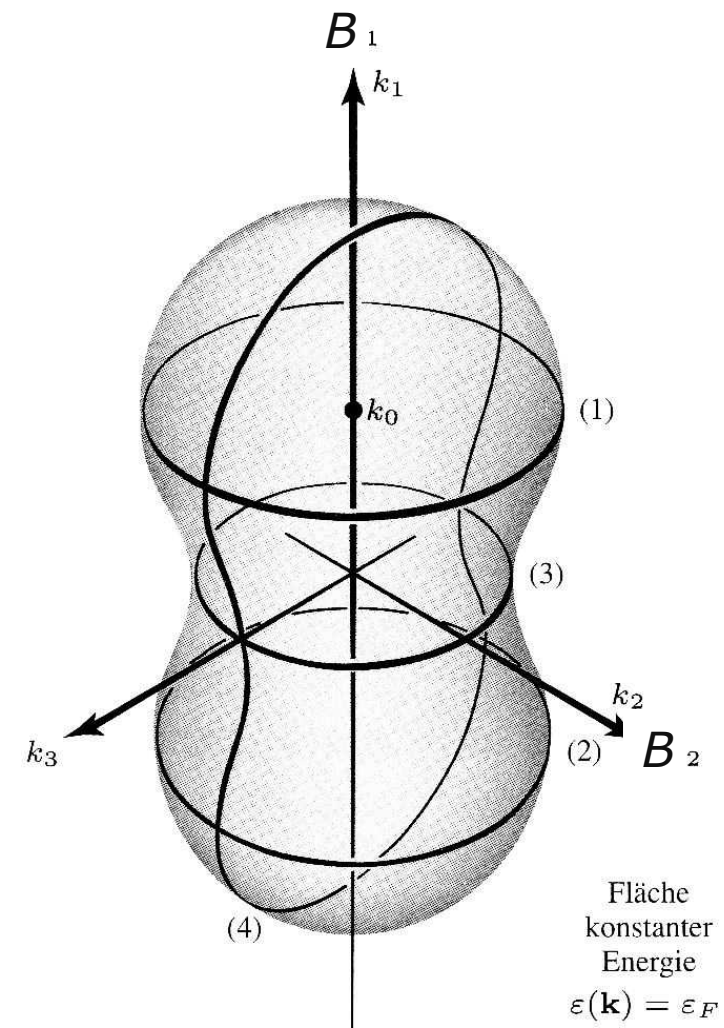
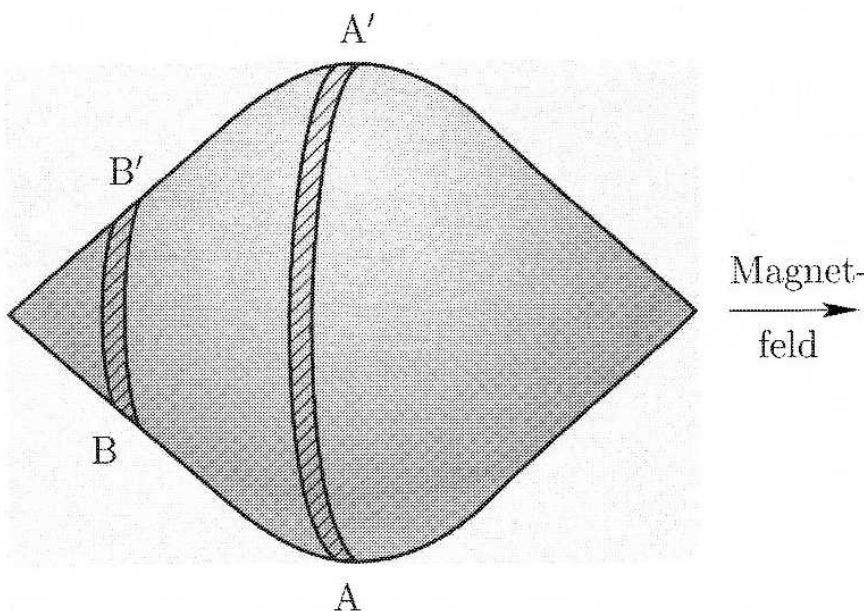


Bild 14.4: Einige Beispiele für extreme Bahnkurven. Liegt B parallel zur k_1 -Achse, dann sind die Bahnen (1) und (2) maximale Extrembahnen, (3) ist eine minimale. Liegt das Magnetfeld dagegen parallel zur k_2 -Achse, so gibt es nur die einzige Extrembahn (4).

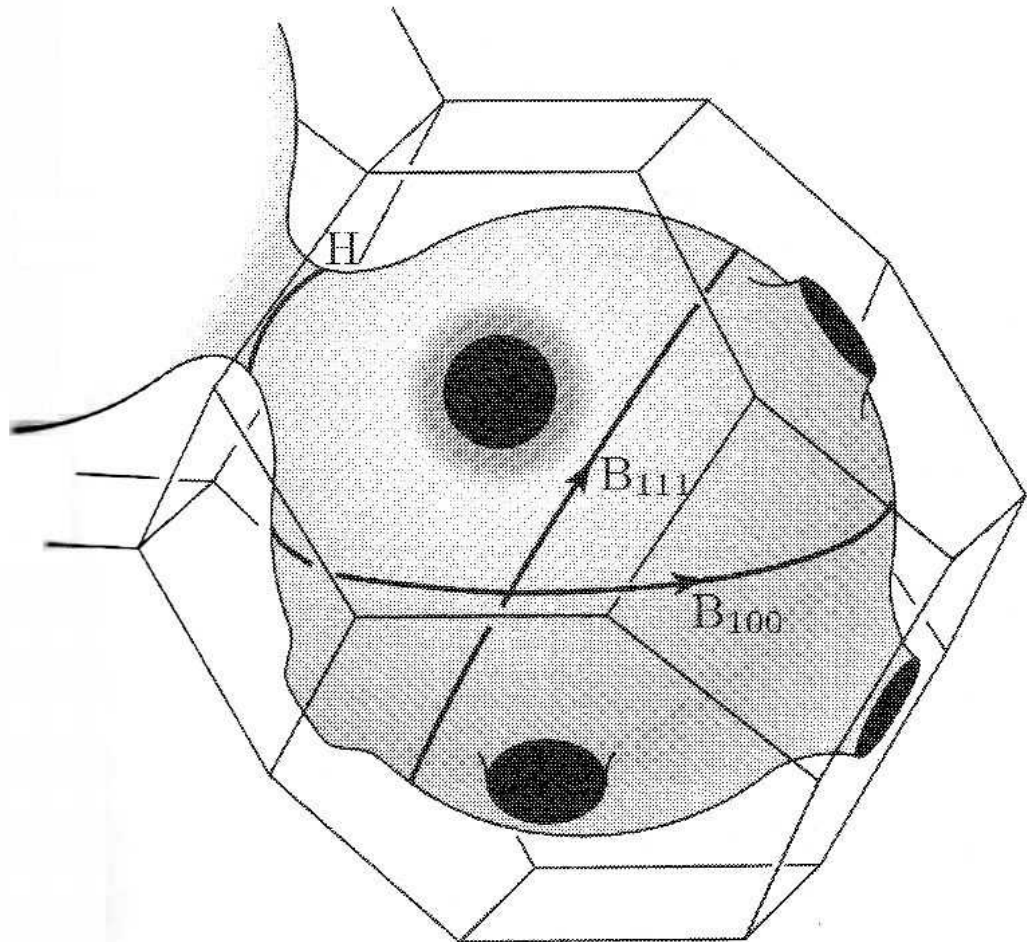


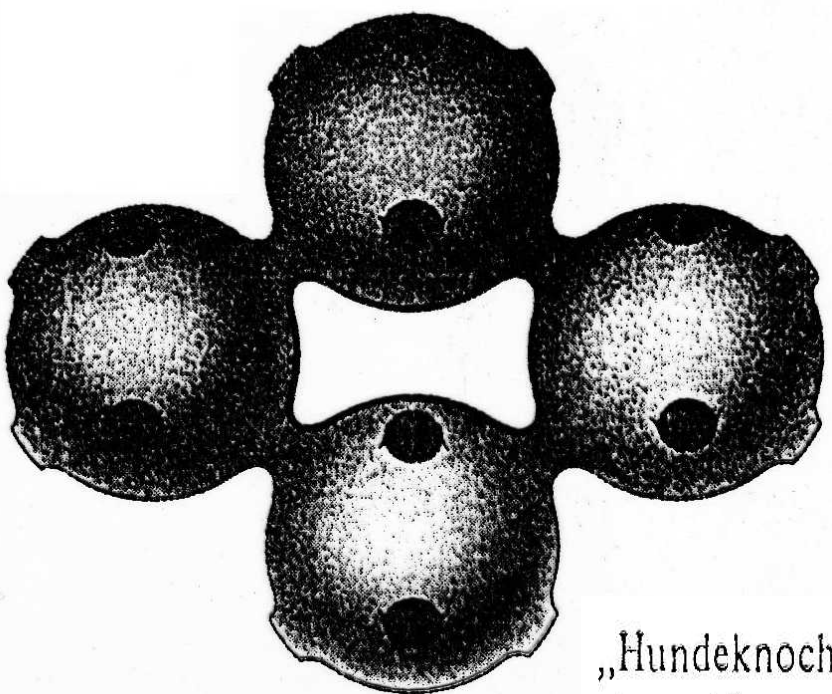
Bild 9.29: Fermi-Fläche von Kupfer nach Pippard. Die Brillouin-Zone der fcc-Struktur ist der in Kapitel 2 abgeleitete Oktaeder ohne Spitzen. Die Fermi-Fläche berührt die Zonengrenze in der Mitte der hexagonalen Begrenzungsflächen der Zone, in den [111]-Richtungen im k -Raum. Zwei „Bauch“-Extremalbahnen sind dargestellt und mit B bezeichnet; die „Hals“-Extremalbahn ist mit H bezeichnet.

45,0 kG

45,5 kG

46,0 kG

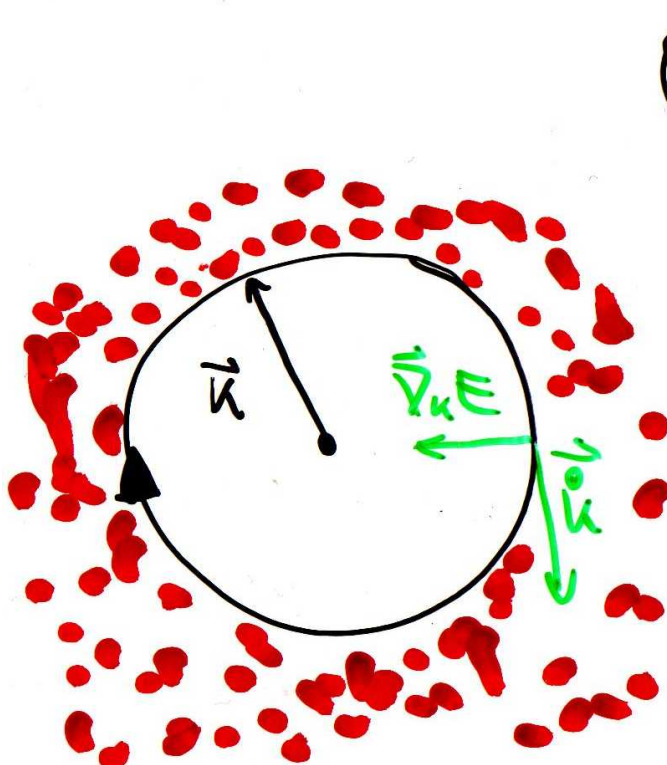
De Haas-van Alphén-Effekt in Gold mit B in [110]-Richtung. Die Oszillationen stammen von der „Hundeknochen“-Bahn des Bildes 30. Das Signal hängt von der zweiten Ableitung des magnetischen Moments nach der Feldstärke ab. Diese Ergebnisse wurden mit einer Feldmodulationstechnik in einer supraleitenden Spule hoher Homogenität bei etwa 1,2 K ermittelt. (Nach I. M. Templeton.)



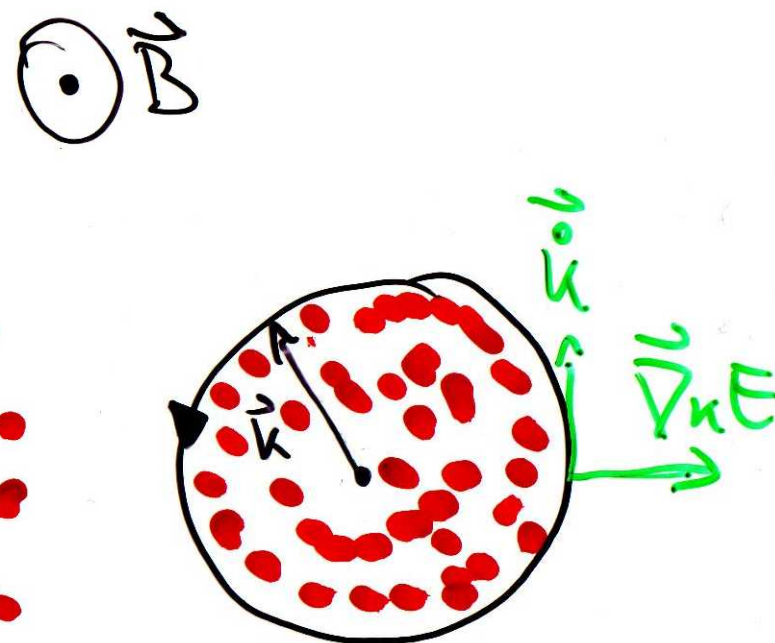
„Hundeknochen“-Bahn eines Elektrons auf der Fermi-Fläche von Kupfer oder Gold in einem Magnetfeld. Dies ist eine lochartige Bahn, weil die Energie zum Innern der Bahn hin zunimmt.

Bahnarten

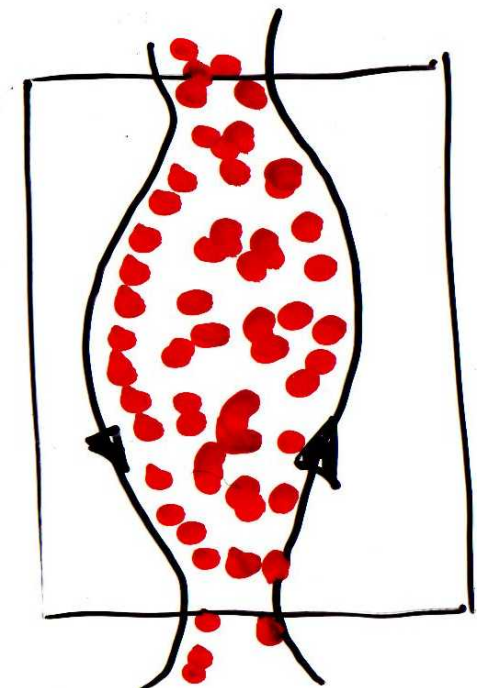
$$\dot{\vec{k}} = -\frac{e}{\hbar^2} \nabla_{\vec{k}} E(\vec{k}) \times \vec{B}$$



lochartig

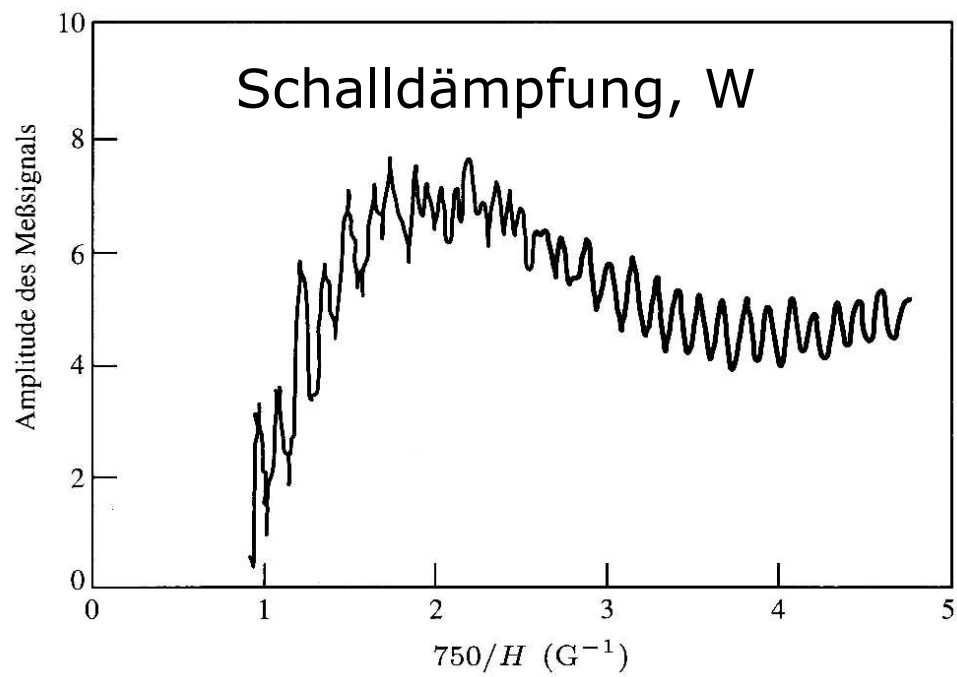


elektronenartig

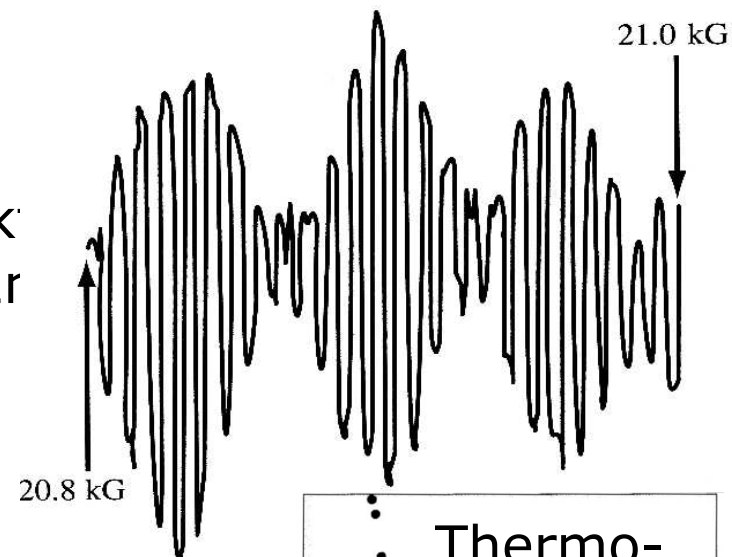


offen

Mehr Oszillationen

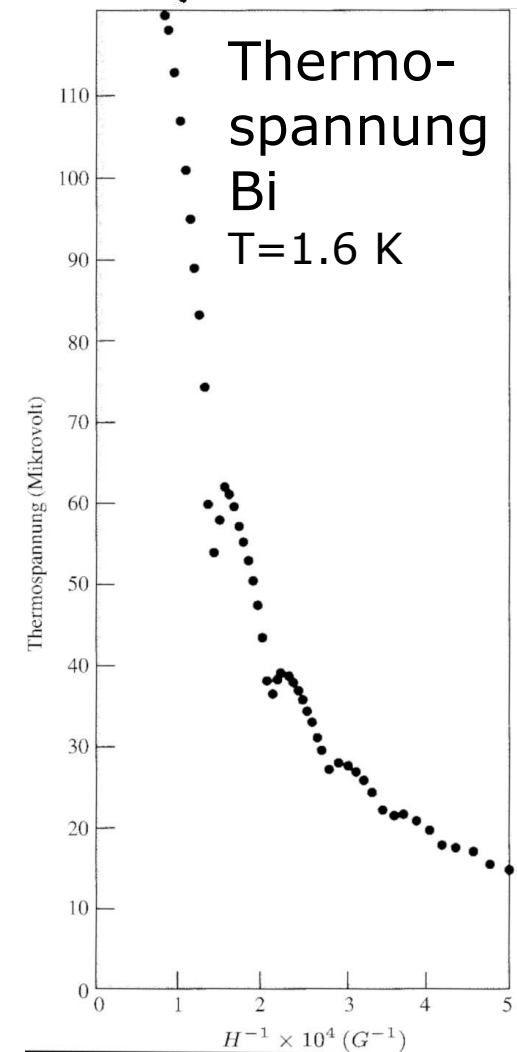
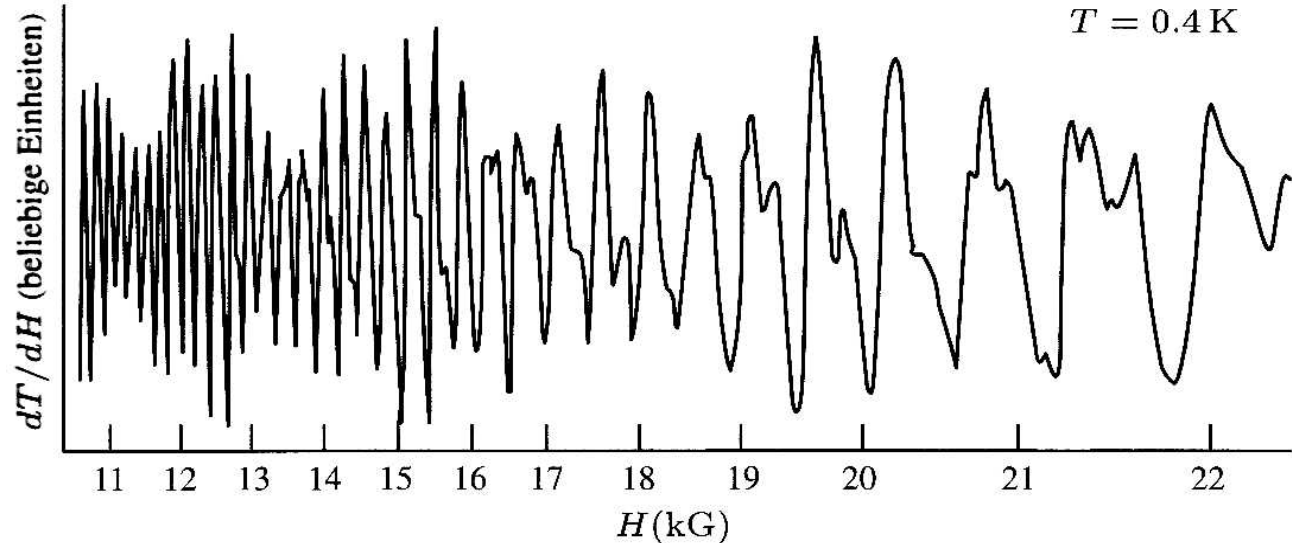


Peltiereffekt
Zr

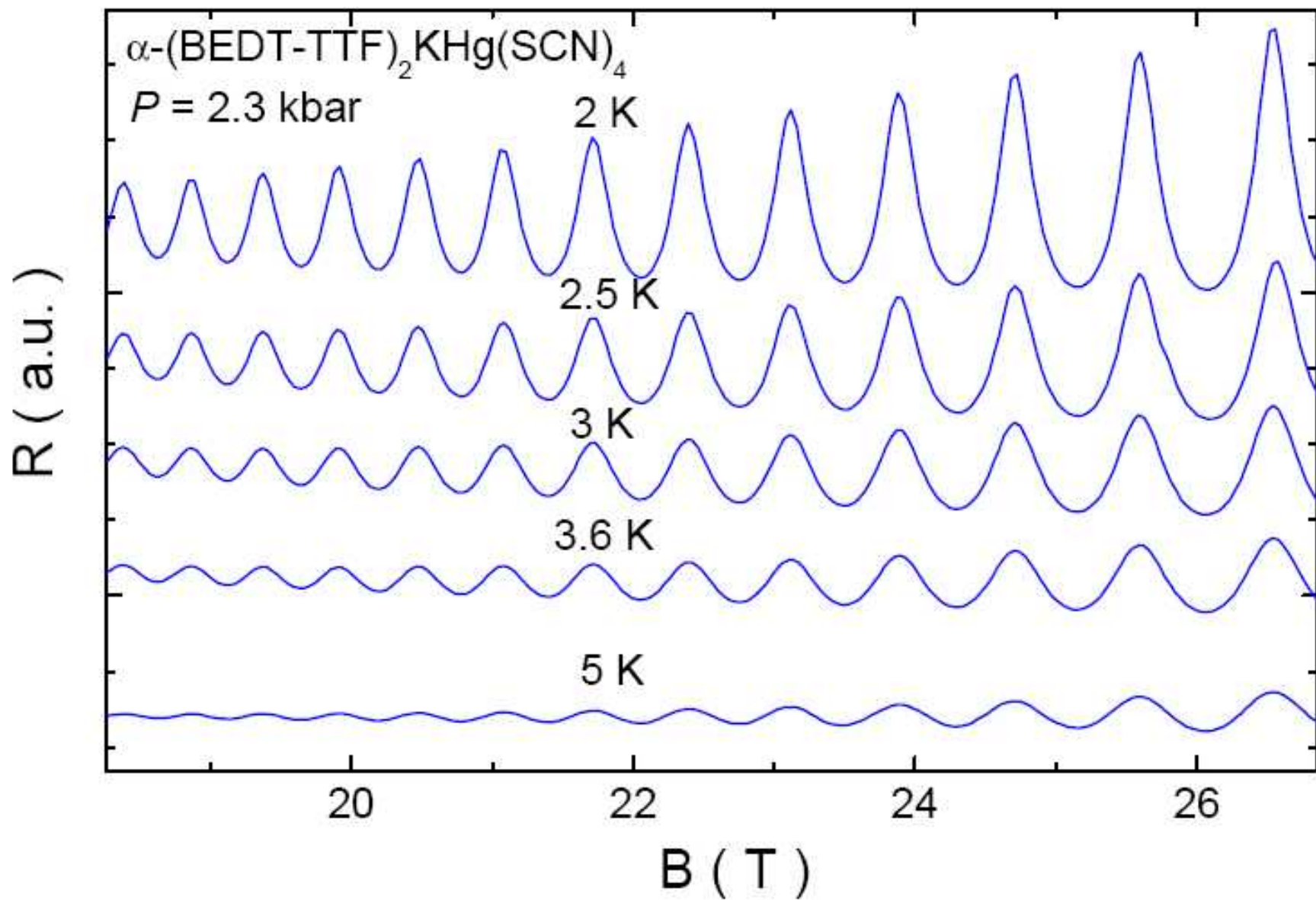


- Thermo-
spannung
- Bi
- T = 1.6 K

Wärmeleitfähigkeit, Sb



Shubnikov-de Haas-Oszillationen



Idee: $\rho \sim \text{Streuwahrscheinlichkeit} \sim \text{DOS}(E_F) \sim dM/dB$